

Монокристаллы трихлоркадмата цезия были получены нами в вертикальной трубчатой печи по методу Бриджмена—Стокбаргера. Для их идентификации были сняты порошковые диаграммы на рентгеновском дифрактометре ДРОН-2. Результаты обработки рентгенограмм (структура и параметры решетки) хорошо совпадают с опубликованными ранее данными [3–5].

Образец для исследования теплоемкости представлял собой монокристалл цилиндрической формы диаметром 12, высотой 23 мм и массой  $9.74 \times 10^{-3}$  кг. Измерения удельной теплоемкости проводились через 5–10 К по методике, описанной в [6].

Дилатометрические измерения проводились на кварцевом дилатометре чувствительностью  $5 \cdot 10^{-9}$  м. Температурный шаг составлял  $\Delta T = 10$  К. Использовались монокристаллические образцы в виде прямоугольных параллелепипедов  $5 \times 5 \times 8$  мм. Ребра параллелепипедов были ориентированы вдоль кристаллографических осей кристалла рентгеновским методом с точностью  $\pm 0.5^\circ$ . Относительное удлинение  $\Delta l/l_0$  измерялось вдоль каждого из ребер.

На рисунке приведены температурные зависимости удельной теплоемкости  $C$ , (1), дебаевской характеристической температуры  $\Theta$  (2), относительного удлинения  $\Delta l/l_0$  и температурного коэффициента линейного расширения  $\alpha$  ( $K^{-1}$ ) вдоль осей  $a$  (3),  $b$  (4),  $c$  (5), причем начало отсчета ( $\Delta l=0$ ) для кривой относительного удлинения соответствует температуре жидкого азота (77 К). Видно, что  $\Theta$  начинает снижаться с повышением температуры выше 220 К, величина  $\alpha$  вдоль осей  $a$  и  $b$  приблизительно одинакова, что и должно иметь место для гексагональной решетки, тогда как вдоль оси  $c$  она меньше примерно в два раза и практически линейно изменяется от 10 до  $20 K^{-1}$ .

#### Список литературы

- [1] Marsh K. I. // J. Mater. Sci. 1979. V. 14. N 9. P. 2157–2163.
- [2] Cheng G. C., Elwell D. // J. Acta Cryst. Growth. 1987. V. 83. N 1. P. 44–46.
- [3] Siegel S., Gebert E. // J. Acta Cryst. Growth. 1964. V. 17. N 6. P. 790.
- [4] Moeller Chr. K. // Acta Chem. Scand. 1979. V. A31. N 8. P. 669–672.
- [5] Ahn K. S., Karaza R. A., Elwell D., Feigelson R. S. // J. Cryst. Growth. 1980. V. 50. N. 14. P. 775–778.
- [6] Сирота Н. И., Гавалешко, Н. П., Новикова В. В., Новиков А. В., Паранчик С. Ю. // ФТТ. 1988. Т. 30. № 4. С. 1237–1240.

Киевский государственный университет  
им. Т. Г. Шевченко

Поступило в Редакцию  
25 апреля 1990 г.

УДК 537.226.4; 538.956

© Физика твердого тела, том 32, № 10, 1990  
Solid State Physics, vol. 32, N 10, 1990

#### СЕГНЕТОЭЛЕКТРИЧЕСКИЕ СВОЙСТВА МОНОКРИСТАЛЛОВ $LiNaGe_4O_9$

*M. Д. Волнянский, А. Ю. Кудзин*

В системе твердых растворов  $Li_{2-x}Na_xGe_4O_9$  предельное соединение литий–натрий тетрагерманат  $LiNaGe_4O_9$  при комнатной температуре имеет орторомбическую элементарную ячейку ( $Pcc\bar{a}-D_{2h}^8$ ). Она содержит 4 формульные единицы и имеет параметры:  $a=9.31$ ,  $b=4.68$  и  $c=15.88$  Å [1]. Исследование диэлектрических свойств этого соединения [2] показало, что при температуре 112.7 К происходит сегнетоэлектрический (СЭ) фазовый переход (ФП). В районе ФП авторы [2] наблюдали низкочастотную диэлектрическую дисперсию (около 1 кГц), которая связывается ими с кри-

тическим замедлением процесса релаксации поляризации. В [3, 4] указывается, что в случае частот измерительного поля выше частоты, при которой наблюдается «дисперсионный» минимум  $\epsilon'(\omega)$ , пик  $\epsilon'$  в окрестности  $T_c$  начинает сдвигаться в область более высоких температур. Таким же поведением характеризуется и  $\epsilon''$ . Однако, по данным [2], не наблюдается смещения пиков  $\epsilon'$  и  $\epsilon''$  в сторону высоких температур с увеличением частоты измерительного поля. В связи с этим представляется интересным продолжить исследования сегнетоэлектрических свойств  $\text{LiNaGe}_4\text{O}_9$ .

Монокристаллы  $\text{LiNaGe}_4\text{O}_9$  были выращены в воздухе методом Чохральского с использованием нагревателя сопротивления. Получены прозрачные, бесцветные монокристаллические були с размерами до 15 мм в диа-

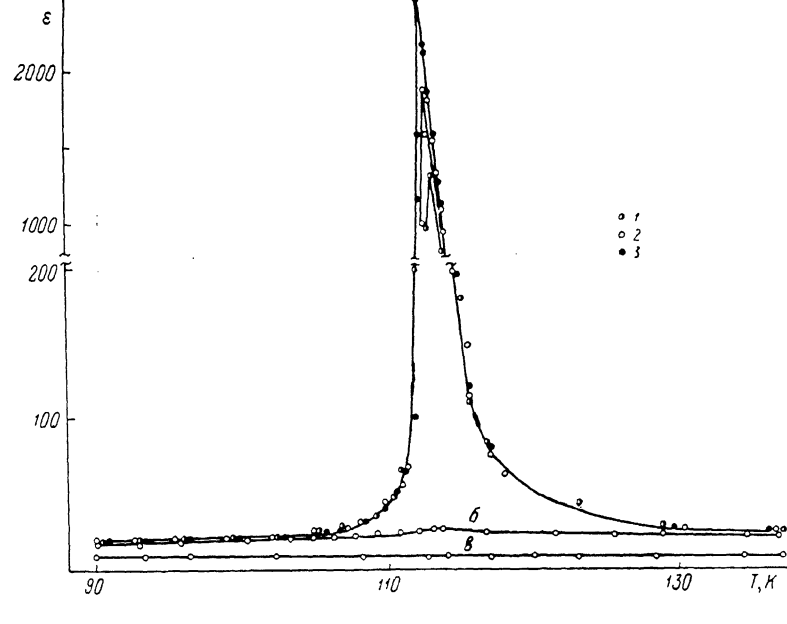


Рис. 1. Зависимости  $\epsilon(T)$  кристаллов  $\text{LiNaGe}_4\text{O}_9$  вдоль главных кристаллографических направлений для измерительных частот 200 Гц (1), 1 (2), 50 кГц (3).

*a* — направление [100], *б* — [010], *в* — [001].

метре и до 40 мм длиной. После рентгеновской ориентации (с точностью до 30') из них вырезались прямоугольные пластинки с главными поверхностями, перпендикулярными основным кристаллографическим направлениям. Площади этих поверхностей  $\sim 0.7 \text{ см}^2$ . После шлифовки образцов (последний шлифпорошок 5 мкм) на главные поверхности испарением в вакууме наносились электроды: тонкий адгезионный слой хрома и основной серебряный.

Измерение температурных зависимостей диэлектрической проницаемости  $\epsilon$  кристаллов  $\text{LiNaGe}_4\text{O}_9$  проводилось мостовым методом в диапазоне частот 200 Гц—50 кГц с использованием моста Е8-2 и резонансным методом на частоте  $\sim 700$  кГц с использованием измерителя  $L$  и  $C$  высокочастотного Е7-9. Переполяризация  $\text{LiNaGe}_4\text{O}_9$  в синусоидальном поле наблюдалась по известной методике, предложенной Сойером и Таузером на частоте 50 Гц. Получены насыщенные симметричные петли диэлектрического гистерезиса, имеющие форму, близкую к прямоугольной, по которым определялись величины спонтанной поляризации  $P_s$  и коэрцитивного поля  $E_c$  исследуемых образцов. При температуре 110 К  $P_s = 0.24 \cdot 10^{-6}$  Кл·см $^{-2}$ ,  $E_c = 2 \cdot 10^3$  В·см $^{-1}$ , что достаточно близко к соответствующим данным [2].

Температурные зависимости диэлектрической проницаемости кристаллов  $\text{LiNaGe}_4\text{O}_9$  измерялись в направлениях [100], [010] и [001] (по кристаллографической установке, принятой в [1]) на частотах 200 Гц, 1, 10, 50

и 700 кГц (рис. 1). Как видно из этого рисунка, аномалия  $\epsilon$  вблизи температуры СЭФП наблюдается только для образцов с главной поверхностью, перпендикулярной направлению [100]. Для направления [010] наблюдается очень слабое (по сравнению с [100]) возрастание  $\epsilon$  вблизи СЭФП, а в направлении [001]  $\epsilon$  практически не изменяется с температурой в исследованном интервале. Эти результаты согласуются с данными [2]. Однако измерения  $\epsilon(T)$  в направлении [100], проведенные на указанных выше частотах, не выявили низкочастотной дисперсии диэлектрической проницаемости, о которой сообщалось в [2]. Кривые  $\epsilon(T)$ , измеренные на разных частотах, совпадали по характеру аномалии  $\epsilon$ . Они отличались только величиной  $\epsilon$  в пике, которая изменялась от 1100 до 2500.

Для этих измерений были построены зависимости  $(\epsilon - \epsilon_0)^{-1} = f(T - T_c)$ , отражающие выполнение закона Кюри—Вейсса. Оказалось, что в кристаллах  $\text{LiNaGe}_4\text{O}_9$  этот закон выполняется в интервале температур до 15 К

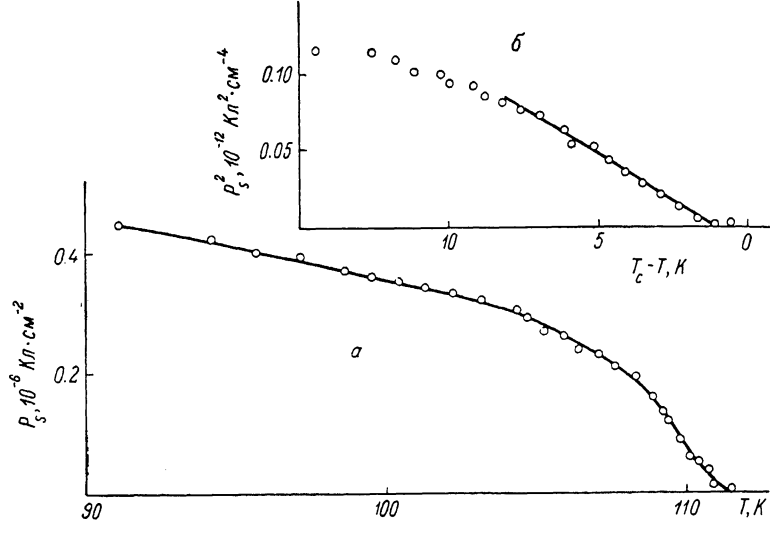


Рис. 2. Температурные зависимости спонтанной поляризации кристаллов  $\text{LiNaGe}_4\text{O}_9$ :  $P_s = f(T)$  (а),  $P_s^2 = f(T_c - T)$  (б).

выше  $T_c$  и до 10 К ниже  $T_c$ . Постоянная Кюри в парофазе  $\sim 230$  К, в сегнетофазе  $\sim (-60)$  К. «Закон двойки» в этих кристаллах не выполняется.

С целью выяснения рода СЭФП в кристаллах  $\text{LiNaGe}_4\text{O}_9$  были измерены температурные зависимости  $P_s$  (рис. 2, а). При нагревании в сегнетофазе  $P_s$  слабо уменьшается до  $\sim 100$  К, затем спадает более быстро и плавно, без скачка, достигает нуля в районе ФП. Такое поведение  $P_s(T)$  указывает на СЭФП второго рода в кристаллах  $\text{LiNaGe}_4\text{O}_9$ . Отличительным признаком СЭФП второго рода является выполнение соотношения [3]

$$P_s = \pm (-A(T - T_c)/2B)^{1/2}, \quad (1)$$

где  $A, B$  — коэффициенты при  $P^2$  и  $P^4$  соответственно в известном разложении термодинамического потенциала по степеням поляризации для однозначного сегнетоэлектрика. Зависимость  $P_s^2 = f(T_c - T)$  для  $\text{LiNaGe}_4\text{O}_9$  представлена на рис. 2, б. Из этого рисунка видно, что в интервале температур  $\sim 8$  К в сегнетофазе вблизи  $T_c$  экспериментальные точки достаточно хорошо ложатся на прямую. При помощи (1) и выражения для закона Кюри—Вейсса была рассчитана величина  $B$ , равная  $\sim -9.5 \cdot 10^{-10}$  ед. СГСЭ.

Кристаллы  $\text{LiNaGe}_4\text{O}_9$  и  $\text{Li}_2\text{Ge}_7\text{O}_{15}$  относятся к двойной системе  $\text{Li}_2\text{O}-\text{GeO}_2$ . В неполярной фазе оба соединения имеют центросимметричную точечную группу  $mm$ , которая в полярной фазе преобразуется в  $mm2$ . Однако если  $\text{Li}_2\text{Ge}_7\text{O}_{15}$  относится к слабым сегнетоэлектрикам [5], то исследование диэлектрических свойств кристаллов  $\text{LiNaGe}_4\text{O}_9$  показывает,

что по величинам: постоянной Кюри, спонтанной поляризации, коэффициента при  $P^4$  это соединение можно отнести к группе сегнетоэлектрических кристаллов, к которой принадлежит, например, триглицинсульфат.

### Список литературы

- [1] Vollenkle H., Wittman A., Nowotny H. // Monatsh. Chem. 1969. V. 100. N 1. P. 79–90.
- [2] Wada M., Shibata M., Sawada A., Ishibashi Y. // J. Phys. Soc. Jap. 1983. V. 52. N 9. P. 2981–2982.
- [3] Блинц Р., Жекш Б. Сегнетоэлектрики и антисегнетоэлектрики. Динамика решетки. М.: Мир, 1975. С. 398.
- [4] Сонин А. С., Струков Б. А. Введение в сегнетоэлектричество. М.: Высшая школа, 1970. С. 271.
- [5] Тагацев А. К. // Письма в ЖЭТФ. 1987. Т. 45. № 7. С. 351–355.

Днепропетровский государственный университет  
им. 300-летия воссоединения Украины с Россией

Поступило в Редакцию  
26 апреля 1990 г.

УДК 537.312.62

© Физика твердого тела, том 32, № 10, 1990.  
Solid State Physics, vol. 32, N 10, 1990.

## МИКРОТВЕРДОСТЬ МОНОКРИСТАЛЛОВ РАЗЛИЧНЫХ ВЫСОКОТЕМПЕРАТУРНЫХ СВЕРХПРОВОДНИКОВ

Т. С. Орлова, Б. И. Смирнов, В. В. Шнейман

После открытия высокотемпературных сверхпроводников (ВТСП) началось интенсивное исследование их различных свойств, включая и механические. Поскольку монокристаллы ВТСП обычно получают очень малых размеров, их механические свойства изучаются путем измерения микротвердости. Большинство имеющихся данных по микроиндентированию получены на иттриевых ( $Y-Ba-Cu-O$ ) ВТСП [1–4]. В [5] микротвердость измерена также для ряда монокристаллов редкоземельных купратов системы 1–2–3. В тоже время, естественно, пред-

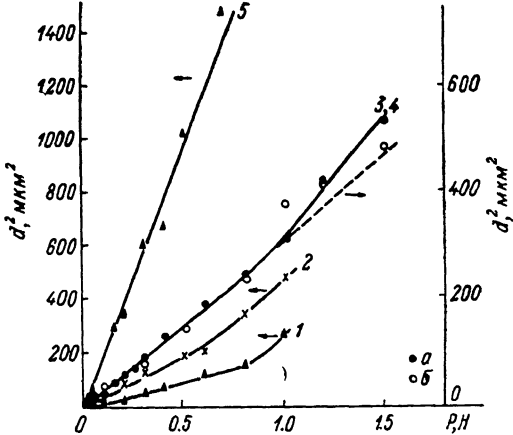


Рис. 1. Зависимость квадрата диагонали отпечатка  $d^2$  от нагрузки на индентор.

1 —  $YBa_2Cu_3O_{6-x}$  ( $T_c \approx 65$  K), 2 —  $YBa_2Cu_3O_{7-x}$  ( $T_c \approx 90$  K), 3 —  $(La_{1-x}Sr_x)_2Cu_3O_4$  (а), 4 —  $La_2CuO_4$  (б),  
5 —  $Bi-Sr-CaCu_2O_{8+x}$ .

ставляет интерес сопоставление результатов исследований на ВТСП монокристаллах различных систем. Нами изучена микротвердость ВТСП монокристаллов систем  $La-Sr-Cu-O$ ,  $Y-Ba-Cu-O$  и  $Bi-Sr-Ca-Cu-O$ .

Исследовались монокристаллы, полученные в процессе спонтанной кристаллизации из расплава. Образцы имели естественную огранку {100} и размеры в плоскости (001) порядка  $1 \times 1$  и  $0.3$  мм вдоль оси [001].

Измерения микротвердости производились на грани (001) при комнатной температуре на воздухе на приборе ПМТ-3 со стандартным алмазным индентором. Минимальная нагрузка на индентор  $P=0.02$  Н, максималь-